

BP Doorfietsroute Vriezerbrug

Akoestisch onderzoek bromfietspassage

Verantwoording

Titel: BP Doorfietsroute Vriezerbrug
Onderwerp: Akoestisch onderzoek bromfietspassage
Projectnummer: 51008240
Klant: Provincie Drenthe
Referentienummer: NL22-648800269-24408
Versie: 3

Datum: 28-03-2023

Auteur: Pim van de Steeg
E-mailadres: pim.vandesteeg@sweco.nl

Gecontroleerd door: Gertjan Blaas
Paraaf gecontroleerd:



Vrijgegeven door: Rob Cornelis
Paraaf vrijgegeven:



Inhoudsopgave

1	Inleiding	4
2	Uitgangspunten	5
2.1	Gehanteerde normstelling	5
2.2	Overzicht locatie en beoogde fietstunnel	5
2.3	Rekenmethode	7
3	Resultaten	9
4	Conclusie	11

1 Inleiding

De provincie Drenthe is voornemens om een fietstunnel aan te leggen ter hoogte van de Vriezerbrug (kruispunt N386 / Watermolendijk) en daarmee een doorfietsroute te creëren. Ook brom- en snorfietsen mogen gebruikmaken van de tunnel. Om de geluidsbelasting als gevolg van voorbijrijdende brom- en snorfietsen inzichtelijk te maken, is voorliggend akoestisch onderzoek uitgevoerd. Er dient namelijk sprake te zijn van een goede ruimtelijke ordening. Zie figuur 1 voor een overzicht van de huidige locatie.

Voor het doorlopen van de ruimtelijke procedure is Sweco Nederland B.V. gevraagd om een akoestisch onderzoek uit te voeren naar de maximale geluidbelasting veroorzaakt door langrijdende bromfietsen. Ook is het langtijdgemiddelde onderzocht.



Figuur 1 Overzicht van de huidige locatie (bron: Google Maps)

2 Uitgangspunten

2.1 Gehanteerde normstelling

Bij de aanleg van wegen geldt de Wet geluidhinder als wettelijk kader waarbinnen het onderzoek plaats dient te vinden. Het nieuw aan te leggen gedeelte van de doorfietsroute ligt buiten de bebouwde kom van Tynaarlo. De doorfietsroute wordt een weg met een beperkte toegankelijkheid. Alleen fietsers en brom-/snorfietsers mogen van deze route gebruik maken. Er geldt dan, volgens artikel 21 van het Reglement verkeersregels en verkeerstekens 1990, een beperkte maximale snelheid van 40 km/uur voor een fiets-/bromfietspad. Hierdoor valt de aanleg van het de (brom)fiets tunnel binnen het wettelijk kader van de Wet geluidhinder en is een toets aan de grenswaarden genoemd in de Wet geluidhinder noodzakelijk.

De Wet geluidhinder stelt enkel grenswaarden aan de langtijdgemiddelde geluidbelastingen (L_{den}) veroorzaakt door wegverkeer, maar stelt geen grenswaarden aan maximale geluidbelastingen veroorzaakt door wegverkeer. Er geldt dus geen harde grenswaarde voor de maximale geluidbelasting veroorzaakt door een enkele bromfiets passage op een geluidgevoelig object.

De aanleg van het (brom)fiets tunnel valt tevens binnen het wettelijk kader van de Wet ruimtelijk ordening. Voor de (brom)fiets tunnel is onderzoek naar de geluidbelasting benodigd ter plaatse van geluidgevoelige objecten zoals woningen. Hiervoor dient de geluidbelasting inzichtelijk te worden gemaakt. Daarbij kunnen de door het Activiteitenbesluit gestelde richtwaarden voor maximale geluidniveaus (L_{Amax}) in beschouwing worden genomen ter referentie.

Activiteitenbesluit

De standaardvoorschriften in het Activiteitenbesluit met betrekking tot geluid zijn omschreven in de artikelen 2.17 tot en met 2.22. In onderstaande tabel 1 zijn de richtwaarden gegeven zoals opgenomen in het Activiteitenbesluit. Deze richtwaarden betreffen het maximaal optredende geluidniveau (L_{Amax}) op de gevels van woningen.

Tabel 1 Richtwaarden voor L_{Amax} in dB(A) op de gevels van woningen

Periode	L_{Amax}
07:00 - 19:00 uur (dagperiode)	70
19:00 - 23:00 uur (avondperiode)	65
23:00 - 07:00 uur (nachtperiode)	60

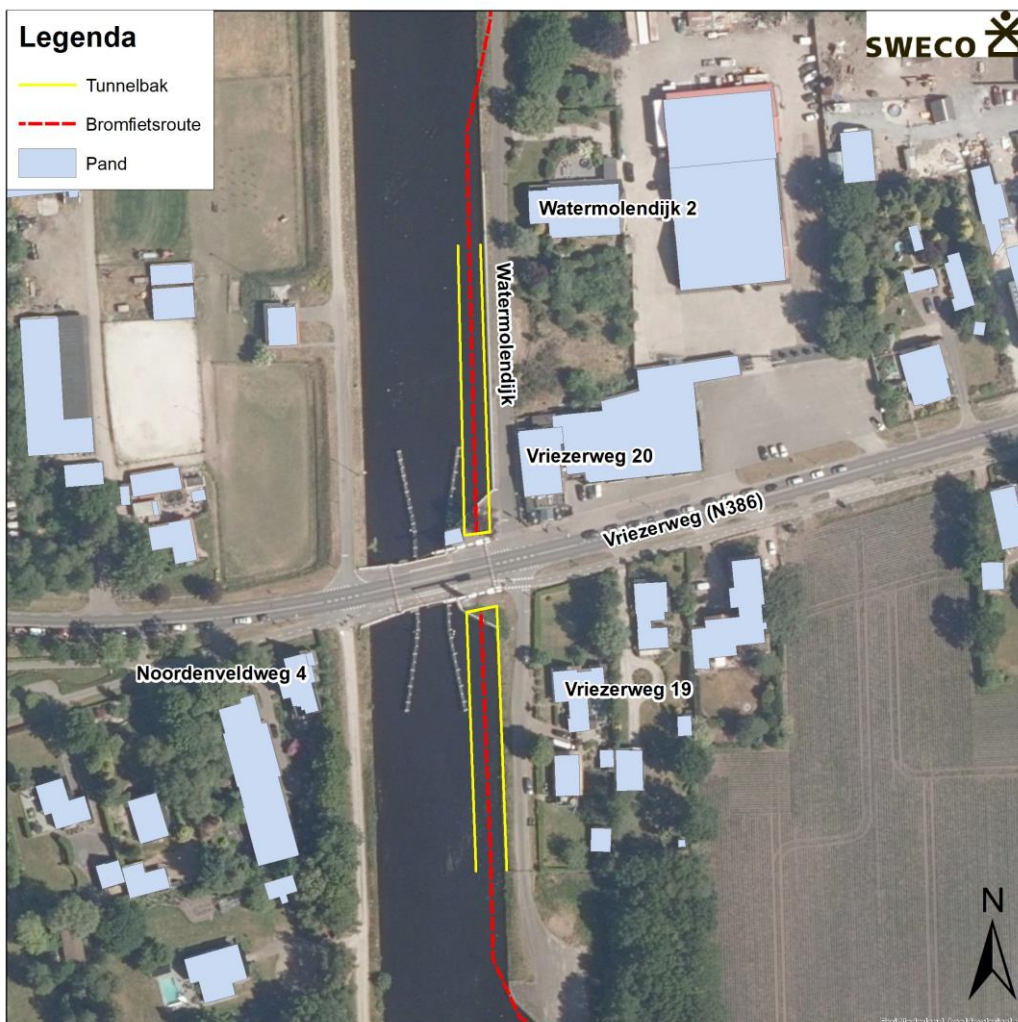
2.2 Overzicht locatie en beoogde fietstunnel

De locatie betreft het kruispunt N386 (Vriezerweg) / Watermolendijk, ter hoogte van Grand Café de Vriezerbrug (= Vriezerweg 20) in Tynaarlo. Op deze locatie wordt een fietstunnel aangelegd, parallel aan de Watermolendijk en het kanaal, welke onder de Vriezerbrug doorloopt. Hiermee wordt een noord-zuid georiënteerde doorgaande fietsroute via de Watermolendijk gerealiseerd. Het (brom)fietsverkeer kan daarmee ononderbroken doorrijden over de gehele Watermolendijk.

De provincie heeft aangegeven dat er in de praktijk momenteel geen bromfietsers rijden over de Watermolendijk, mede doordat het (brom)fietsverkeer het kruispunt moet oversteken en doordat er nauwelijks

bestemmingsverkeer is in noordelijke en/of zuidelijke richting over de Watermolendijk. Naar verwachting zullen er in de nieuwe situatie met fietstunnel bromfietzers gaan rijden, waardoor mogelijk geluidhinder kan ontstaan bij nabijgelegen woningen. In dit onderzoek wordt de geluidbelasting berekend op de gevels van de nabije woningen: Noordenveldweg 4, Vriezerweg 19, Vriezerweg 20, Watermolendijk 2, Industrieweg 34, Watermolendijk 3 en Watermolendijk 4.

In onderstaande figuur 2 is een overzicht gegeven van de locatie met de tunnelbak van de beoogde fietstunnel¹, en de resulterende (brom)fietsroute. Onder de Vriezerweg (N386) vormt de route een gesloten tunnel van circa 21 meter lengte en circa 2,6 meter doorrijhoogte². Ten noorden en ten zuiden van de tunnel wordt een open tunnelbak aangelegd met betonnen zijwanden. De tunnelbak komt direct naast de Watermolendijk te liggen, waardoor het kanaal wordt versmald. Ten noorden van woning Watermolendijk 2 en ten zuiden van woning Vriezerweg 19 sluit de nieuwe tunnelbak aan op de bestaande weg.



Figuur 2 Overzicht beoogde fietstunnel en bijbehorende bromfietsroute

¹ Ontwerptekening 'N386/DFR Vriezerbrug Overzicht'. Conceptversie. Datum 31-03-2022. Opgesteld door provincie Drenthe.

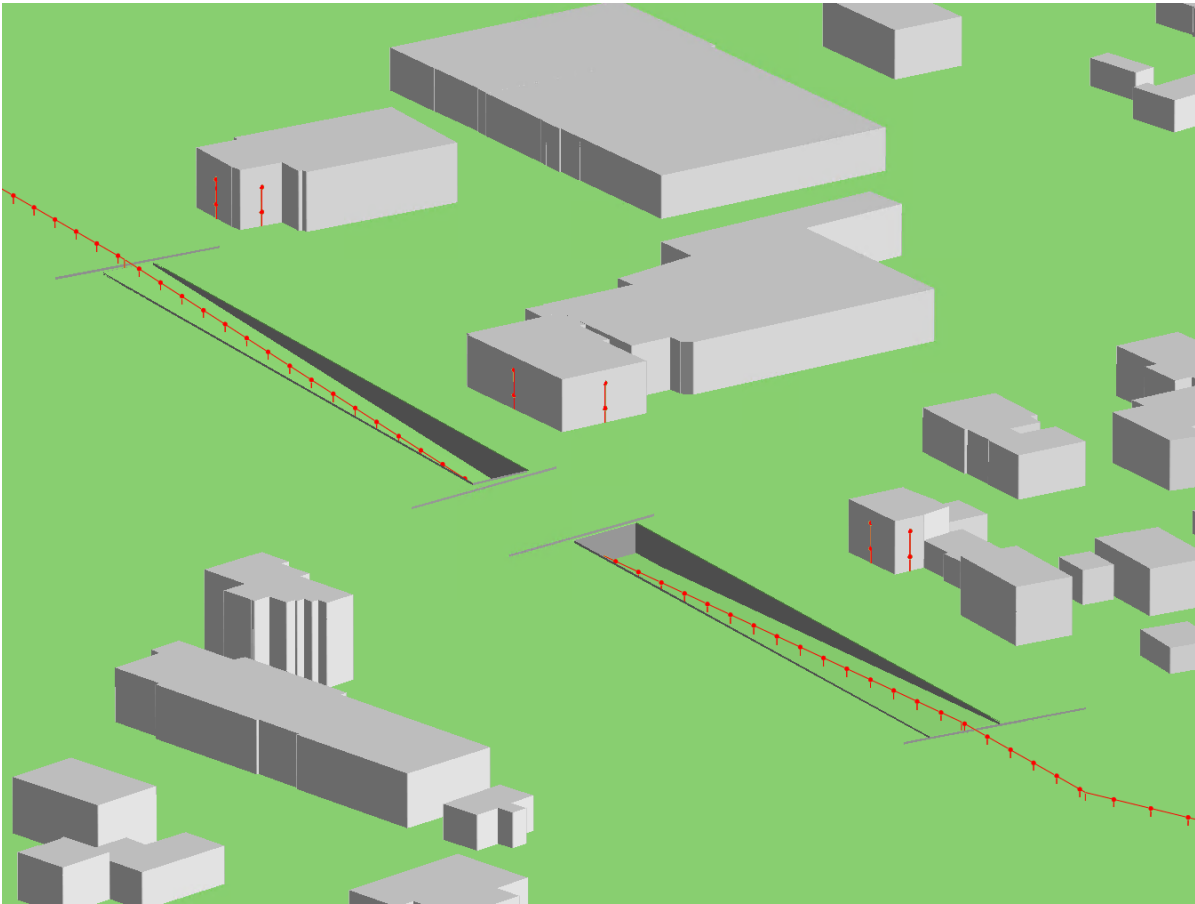
² Gegevens aangeleverd door provincie Drenthe per mail op 02-05-2022.

2.3 Rekenmethode

Het berekenen van de maximale geluidbelasting (L_{Amax}) op de gevels wordt uitgevoerd conform de Handleiding Meten en Rekenen Industrielawaai 1999. Voor de berekening is gebruik gemaakt van de meest recente versie van het rekenprogramma Geomilieu (v2022.1). Bij het opstellen van het rekenmodel zijn de volgende uitgangspunten gehanteerd:

- Ontwerptekening van de beoogde fietsroute en tunnelbak, zie bijlage 1.
- Doordat het maaiveld nagenoeg geen hoogteverschil kent op deze locatie, is een standaard maaiveld van 0 meter gehanteerd. De tunnelbak is relatief aan deze hoogte gemodelleerd met 0 tot 3,5 meter diepte. De tunnelbak is gemodelleerd met volledig akoestisch reflecterende zijwanden.
- Stedenbouwkundige situatie in de vorm van bestaande woningen en bebouwing is overgenomen uit BAG (Basisregistratie Adressen en Gebouwen), gedownload in april 2022. Nabijgelegen panden zijn geïnventariseerd op pandhoogte en ligging met behulp van Cyclomedia Streetsmart.
- Gezien de beperkte hoeveelheid zachte bodemgebieden (gras, bos etc.) tussen bromfietsroute en de gevels is er nauwelijks sprake van bodemdemping, dus is overal bodemfactor 0,0 (akoestisch hard) gehanteerd.
- Op de gevels van de genoemde woningen zijn toetspunten ingevoerd op 1,5 meter relatieve hoogte boven de vloer van iedere woonlaag (begane grond = 1,5 meter rekenhoogte; eerste verdieping = 4,5 meter; tweede verdieping = 7,5 meter).
- Gehanteerd bronvermogen van een bromfiets = 102 dB(A). Er zijn geen geluidemissies van bromfietsen bekend. Volgens de Regeling voertuigen, artikel 5.6.11 lid 4 is voor bromfietsen een geluidniveau toegestaan van maximaal 97 dB(A) op circa 0,5m afstand. Omgerekend levert dit een bronvermogen van 102 dB(A), wat grofweg gelijk staat aan het geluid van 1 a 2 met 50 km/u langsrijdende auto's. Als worst case benadering is daarom een bronvermogen van 102 dB(A) gehanteerd. De geluidbelasting is berekend voor 1 bromfietspassage per dagperiode (dag, avond en nacht).

De modelitems zijn in de bijlage terug te vinden. In onderstaande figuur 3 is een 3D-weergave van het model weergegeven.



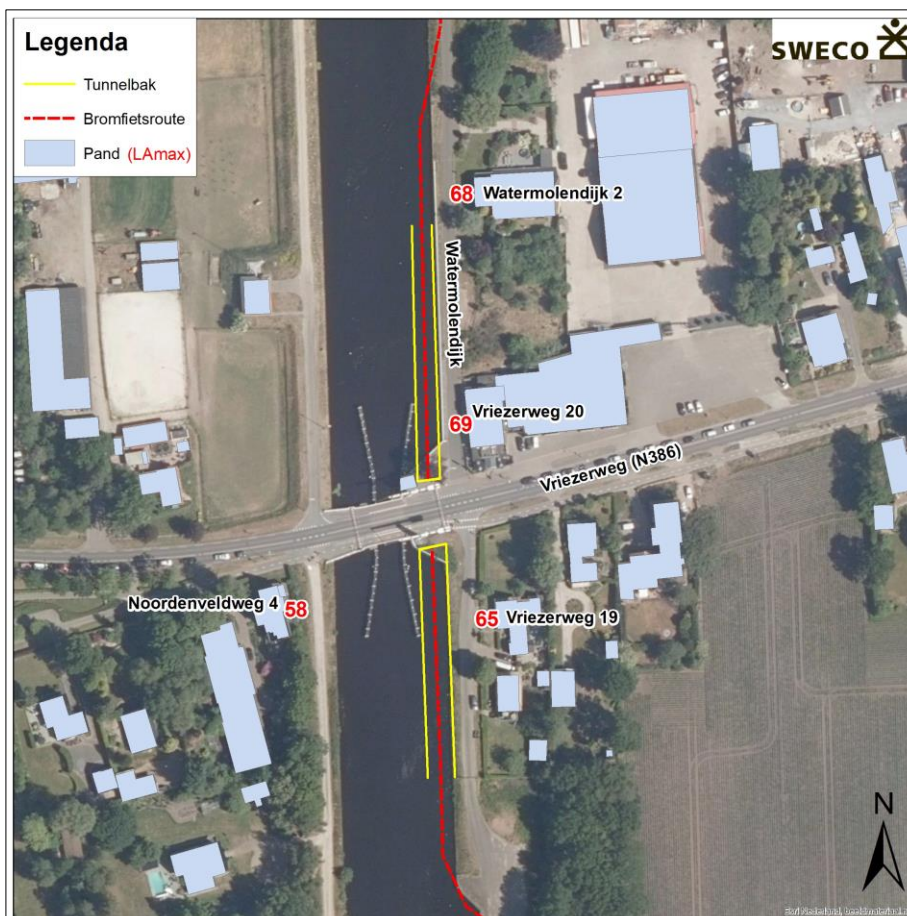
Figuur 3 3D-weergave van het geluidmodel ter hoogte van de beoogde fietstunnel

3 Resultaten

In tabel 3 en figuur 4 zijn de optredende maximale geluidniveaus (L_{Amax}) weergegeven. In de bijlage zijn alle rekenresultaten weergegeven. De geluidbelasting van een bromfietspassage bedraagt oplopend tot 69 dB(A). De hoogste geluidbelasting vindt plaats op de eerste verdieping bij de logieswoningen van Grand Café de Vriezerbrug (Vriezerweg 20). De maximaal optredende geluidbelastingen liggen daarmee hoger dan de richtwaarden volgens het Activiteitenbesluit (65 en 60 dB(A) in respectievelijk avond- en nachtperiode).

Tabel 3 Maximale geluidbelasting (L_{Amax}) per woning

Woning	Maximale geluidbelasting (dB(A))		
	Dag	Avond	Nacht
Noordenveldweg 4	58	58	58
Vriezerweg 19	65	65	65
Vriezerweg 20	69	69	69
Watermolendijk 2	68	68	68
Industrieweg 34	64	64	64
Watermolendijk 3	62	62	62
Watermolendijk 4	61	61	61

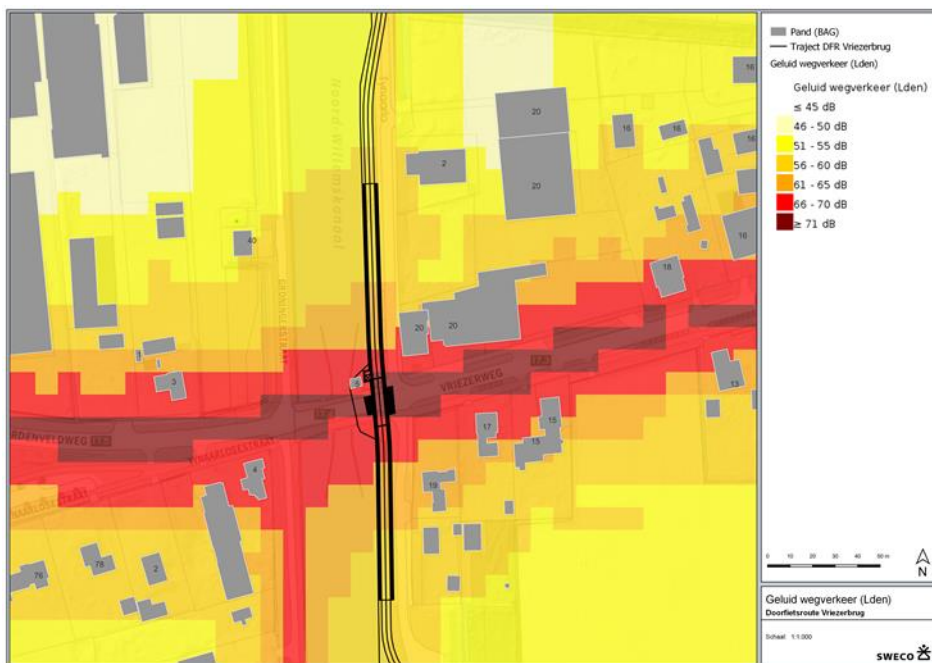


Figuur 4 Maximale geluidbelasting (L_{Amax}) per woning nabij de fietstunnel

De akoestisch reflecterende werking van de tunnelbak is niet maatgevend. De geluidbelastingen op woningen Vriezerweg 20 en Watermolendijk 2 zijn bijna even hoog, en beide woningen liggen op nagenoeg gelijke afstand van de beoogde bromfietsrijlijn; de woningen die iets verder van de bromfietsrijlijn zijn gelegen (Watermolendijk 3 en 4, Industrieweg 34) hebben een minder hoge geluidbelasting.

Daarnaast geldt dat het jaargemiddelde geluidniveau (L_{den}) als gevolg van de bromfietsen erg laag is. Ter indicatie: in een worst-case scenario, waarbij tien bromfietsen per uur gedurende een volledig etmaal (240 bromfietsen per etmaal) langsrijden, ligt etmaalgemiddelde geluidniveau nog onder de wettelijke grenswaarde van L_{den} 48 dB liggen, namelijk 46 dB ter hoogte van het maatgevende verblijfsobject Vriezerweg 20. Naar verwachting zal het werkelijke aantal langsrijdende bromfietsen ruimschoots lager zijn dan hierboven genoemd, met name in de avond- en nachtperiodes.

Vanwege de ligging bij een provinciale weg is er ook sprake van een continue verkeersbron in de nabijheid. Volgens de Atlas van de Leefomgeving (zie onderstaande figuur). Daarnaast geldt dat het jaargemiddelde geluidniveau van het wegverkeer op de woningen langs de N386 tussen de 66 en 70 dB ligt.



Dit verschil (46 dB t.o.v. 70 dB) is dermate groot en verwaarloosbaar dat er geen sprake is van cumulatie door de doorfietsroute. Binnen de Wet geluidshinder kan als algemene vuistregel worden aangehouden dat een geluidsniveau dat 10 dB of meer onder een ander geluidsniveau is gelegen, niet tot cumulatie met dat hogere niveau leidt. Aangezien het verschil groter is dan 10 dB is het niet noodzakelijk de cumulatieve geluidbelasting op de gevel te berekenen.

4 Conclusie

De maximale geluidbelasting (L_{Amax}) van een door de fietstunnel rijdende bromfiets bedraagt oplopend tot 69 dB(A) op de nabijgelegen woningen. De hoogste geluidbelasting vindt plaats op de eerste verdieping bij de logieswoningen van Grand Café de Vriezerbrug (Vriezerweg 20). De berekende maximale geluidbelastingen liggen hoger dan de richtwaarden volgens het Activiteitenbesluit (65 en 60 dB(A) in respectievelijk avond- en nachtperiode). De hoge geluidbelasting wordt veroorzaakt door het relatief luide bronvermogen van een bromfiets, de zeer korte afstand tot de nabije woningen (enkele meters) en het feit dat er geen afscherming plaatsvindt.

De akoestisch reflecterende werking van de tunnelbak is niet maatgevend. De geluidbelastingen op woningen Vriezerweg 20 en Watermolendijk 2 zijn bijna even hoog, en beide woningen liggen op nagenoeg gelijke afstand van de beoogde bromfietsrijlijn; de woningen die iets verder van de bromfietsrijlijn zijn gelegen (Watermolendijk 3 en 4, Industrierweg 34) hebben een minder hoge geluidbelasting. Op basis hiervan wordt geconcludeerd dat de tunnelbak geen versterkend effect heeft op de geluidbelasting bij de gevels in vergelijking met een situatie zonder tunnel.

Daarnaast geldt dat het etmaalgemiddelde geluidniveau (L_{den}) laag is. In een worst-case scenario, waarbij tien bromfietsen per uur gedurende een volledig etmaal (240 bromfietsen per etmaal) langsrijden, dan zal het etmaalgemiddelde geluidniveau nog onder de wettelijke grenswaarde van L_{den} 48 dB liggen, te weten 46 dB op de gevel van Vriezerweg 20. Naar verwachting zal het werkelijke aantal langsrijdende bromfietsen ruimschoots lager zijn dan hierboven genoemd, met name in de avond- en nachtperiodes.

Tevens zal ter hoogte van het kruispunt het wegverkeer op de Vriezerweg (N386) ruimschoots maatgevend zijn voor het etmaalgemiddelde geluidniveau; de bijdrage van bromfietsers die volgens de doorgaande fietsroute inclusief tunnel rijden is lager dan het reguliere verkeer.

Op basis hiervan wordt geconcludeerd:

- ter hoogte van de woningen nabij de N386 is het reguliere verkeer op de provinciale weg ruimschoots bepalend;
- ter hoogte van woningen verder gelegen van de N386 is het bromfietsgeluid bepalend, maar de geluidbelasting veroorzaakt door bromfietsen op de woninggevels ligt ruimschoots onder de wettelijke grenswaarden van het jaargemiddeld geluidsniveau (L_{den}).

Bijlage 1 Ontwerptekening



NR.		DATUM		OMSCHRIJVING		WISZINGEN		NR.		DATUM		OMSCHRIJVING	
CONCEPT													
N386/DFR										zoek nr. --			
Vriezerbrug										contractnummer: --			
Overzicht										opmerkingen:			
geteeld	AO	o.d.	30-09-2022	in het	VAR								
gecontroleerd		o.d.											
aanvaard		o.d.		in	1	bladen, blad nr.							
Staanom	df-vriestrap-wc-dag			reg. nr.									
					AO								

Bijlage 2

Rekenresultaten

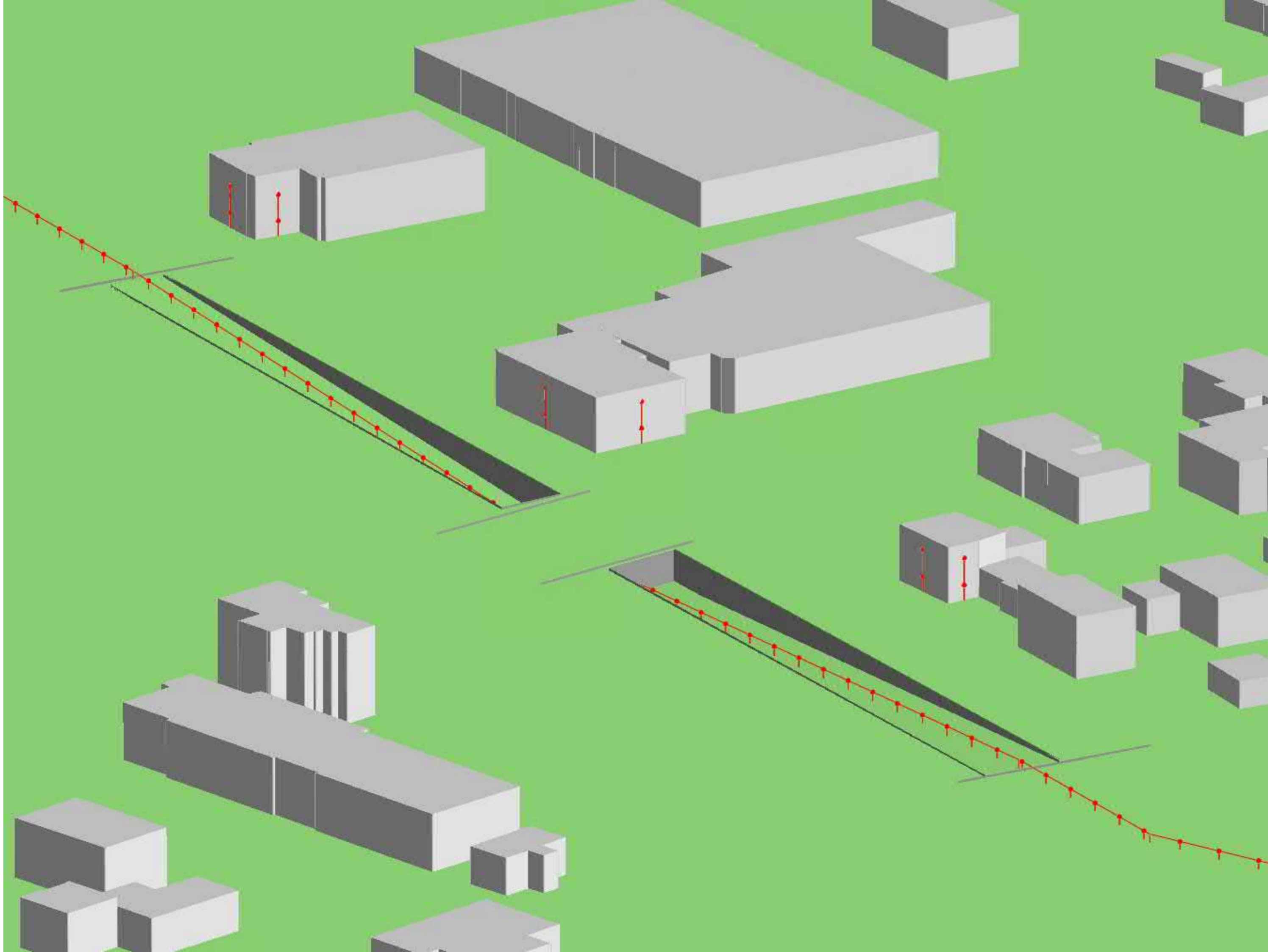
Rapport: Resultatentabel
Model: Bromfietspassage
LAmax totaalresultaten voor toetspunten
(hoofdgroep)

Naam	Toetspunt	Omschrijving	X	Y	Hoogte	Dag	Avond	Nacht
Ind34_A	Ind34	[4/6]	235824,03	566770,93	1,50	63	63	63
Ind34_B	Ind34	[4/6]	235824,03	566770,93	4,50	64	64	64
Ind34_A	Ind34	[5/6]	235821,97	566775,70	1,50	62	62	62
Ind34_B	Ind34	[5/6]	235821,97	566775,70	4,50	63	63	63
Ind34_A	Ind34	[6/6]	235827,50	566779,79	1,50	61	61	61
Ind34_B	Ind34	[6/6]	235827,50	566779,79	4,50	62	62	62
NV4_A	NV4	[2/10]	235741,45	566475,01	1,50	54	54	54
NV4_B	NV4	[2/10]	235741,45	566475,01	4,50	57	57	57
NV4_C	NV4	[2/10]	235741,45	566475,01	7,50	58	58	58
VR19_A	VR19	[4/6]	235814,26	566466,64	1,50	63	63	63
VR19_B	VR19	[4/6]	235814,26	566466,64	4,50	65	65	65
VR19_A	VR19	[5/6]	235811,83	566471,10	1,50	63	63	63
VR19_B	VR19	[5/6]	235811,83	566471,10	4,50	65	65	65
VR19_A	VR19	[6/6]	235815,13	566476,08	1,50	60	60	60
VR19_B	VR19	[6/6]	235815,13	566476,08	4,50	63	63	63
VR20_A	VR20	[3/5]	235808,92	566527,54	1,50	60	60	60
VR20_B	VR20	[3/5]	235808,92	566527,54	4,50	63	63	63
VR20_A	VR20	[4/5]	235802,14	566536,48	1,50	65	65	65
VR20_B	VR20	[4/5]	235802,14	566536,48	4,50	69	69	69
VR20_A	VR20	[5/5]	235807,85	566547,15	1,50	64	64	64
VR20_B	VR20	[5/5]	235807,85	566547,15	4,50	66	66	66
WM2_A	WM2	[1/7]	235807,16	566617,28	1,50	68	68	68
WM2_B	WM2	[1/7]	235807,16	566617,28	4,50	68	68	68
WM2_A	WM2	[6/7]	235807,66	566607,31	1,50	68	68	68
WM2_B	WM2	[6/7]	235807,66	566607,31	4,50	68	68	68
WM2_A	WM2	[7/7]	235804,43	566612,26	1,50	68	68	68
WM2_B	WM2	[7/7]	235804,43	566612,26	4,50	68	68	68
WM3_A	WM3	[1/7]	235828,33	566826,39	1,50	60	60	60
WM3_B	WM3	[1/7]	235828,33	566826,39	4,50	62	62	62
WM3_A	WM3	[6/7]	235830,48	566814,73	1,50	59	59	59
WM3_B	WM3	[6/7]	235830,48	566814,73	4,50	61	61	61
WM3_A	WM3	[7/7]	235826,05	566820,00	1,50	60	60	60
WM3_B	WM3	[7/7]	235826,05	566820,00	4,50	62	62	62
WM4_A	WM4	[1/4]	235830,34	566906,80	1,50	59	59	59
WM4_B	WM4	[1/4]	235830,34	566906,80	4,50	61	61	61
WM4_A	WM4	[2/4]	235838,94	566914,36	1,50	57	57	57
WM4_B	WM4	[2/4]	235838,94	566914,36	4,50	60	60	60
WM4_A	WM4	[4/4]	235840,81	566902,19	1,50	57	57	57
WM4_B	WM4	[4/4]	235840,81	566902,19	4,50	59	59	59

Alle getoonde dB-waarden zijn A-gewogen

Bijlage 3 Invoergegevens





Model: Bromfietspassage
 Basismodel - AO Vriezerbrug tunnelbak 2022
 Groep: (hoofdgroep)
 Lijst van Mobiele bron, voor rekenmethode Industrielawaai - HMRI, industrie

Groep	ItemID	Grp.ID	Datum	le kid	NrKids	Naam	Omschr.	Vorm	X-1	Y-1	X-n	Y-n	H-1	H-n	M-1	M-n	ISO_H	Min.RH	Max.RH	Min.AH
--	312	0	09:16, 11 mei 2022	-1462	172	bromfiets	bromfiets	Polylijn	235863,84	567363,75	235789,15	566516,38	0,75	0,75	0,00	-3,49	0,75	0,75	0,75	-2,74
--	325	0	09:17, 11 mei 2022	-1634	106	bromfiets	bromfiets	Polylijn	235790,40	566493,80	235832,68	565983,17	0,75	0,75	-3,48	0,00	0,75	0,75	0,75	0,73

Model: Bromfietspassage
 Basismodel - AO Vriezerbrug tunnelbak 2022
 Groep: (hoofdgroep)
 Lijst van Mobiele bron, voor rekenmethode Industrielawaai - HMRI, industrie

Groep	Max.AH	ISO M.	Hdef.	Vormpunten	Lengte	Lengte3D	Min.lengte	Max.lengte	Weging	Aantal(D)	Aantal(A)	Aantal(N)	Cb(D)	Cb(A)	Cb(N)	Gem.snelheid	Max.afst.	Aant.puntbr	Lw 31	Lw 63	Lw 125	Lw 250
--	0,75	--	Relatief	13	856,09	856,16	15,58	211,25	A	1	1	1	49,84	45,07	48,08	40	5,00	172	0,00	74,80	84,80	85,30
--	0,75	--	Relatief	10	526,06	526,14	18,58	135,70	A	1	1	1	49,85	45,08	48,09	40	5,00	106	0,00	74,80	84,80	85,30

Model: Bromfietspassage
Basismodel - AO Vriezerbrug tunnelbak 2022
Groep: (hoofdgroep)
Lijst van Mobiele bron, voor rekenmethode Industrielawaai - HMRI, industrie

Groep	Lw 500	Lw 1k	Lw 2k	Lw 4k	Lw 8k	Lw Totaal	Red 31	Red 63	Red 125	Red 250	Red 500	Red 1k	Red 2k	Red 4k	Red 8k	Lwr 31	Lwr 63	Lwr 125	Lwr 250	Lwr 500	Lwr 1k	Lwr 2k	Lwr 4k	Lwr 8k	Lwr Totaal
--	86,00	85,60	80,00	74,20	69,40	91,95	0,00	-10,00	-10,00	-10,00	-10,00	-10,00	-10,00	-10,00	-10,00	0,00	84,80	94,80	95,30	96,00	95,60	90,00	84,20	79,40	101,95
--	86,00	85,60	80,00	74,20	69,40	91,95	0,00	-10,00	-10,00	-10,00	-10,00	-10,00	-10,00	-10,00	-10,00	0,00	84,80	94,80	95,30	96,00	95,60	90,00	84,20	79,40	101,95

Model: Bromfietspassage
 Basismodel - AO Vriezerbrug tunnelbak 2022
 Groep: (hoofdgroep)
 Lijst van Schermen, voor rekenmethode Industrielawaai - HMRI, industrie

Groep	ItemID	Grp.ID	Datum	le kid	NrKids	Naam	Omschr.	Vorm	X-1	Y-1	X-n	Y-n	H-1	H-n	M-1	M-n	ISO_H	Min.RH	Max.RH
--	379	0	15:49, 2 mei 2022	-1457	1	bak	bak	Polylijn	235789,06	566417,02	235798,05	566417,30	0,00	0,00	0,00	0,00	0,00	0,00	3,50
--	381	0	15:49, 2 mei 2022	-1459	1	bak	bak	Polylijn	235783,71	566600,90	235790,34	566601,22	0,00	0,00	0,00	0,00	0,00	0,00	3,50
--	382	0	10:01, 11 mei 2022	-1460	1	tunnelmond	tunnelmond noord	Polylijn	235785,74	566515,88	235793,03	566516,81	2,60	2,60	-3,49	-3,49	2,60	2,60	2,60
--	384	0	10:02, 11 mei 2022	-1461	1	tunnelmond	tunnelmond zuid	Polylijn	235786,32	566493,12	235794,98	566494,96	2,60	2,60	-3,49	-3,49	2,60	2,60	2,60

Model: Bromfietspassage
 Basismodel - AO Vriezerbrug tunnelbak 2022
 Groep: (hoofdgroep)
 Lijst van Schermen, voor rekenmethode Industrielawaai - HMRI, industrie

Groep	Min.AH	Max.AH	ISO M.	Hdef.	Vormpunten	Lengte	Lengte3D	Min.lengte	Max.lengte	Cp	Refl.L 31	Refl.L 63	Refl.L 125	Refl.L 250	Refl.L 500	Refl.L 1k	Refl.L 2k	Refl.L 4k	Refl.L 8k	Refl.R 31	Refl.R 63	
--	0,00	0,00	--	Absoluut	4	163,06	163,06	9,05	77,80	0 dB	1,00	1,00	0,97	0,92	0,85	0,80	0,80	0,80	0,80	0,80	1,00	1,00
--	0,00	0,00	--	Absoluut	4	177,16	177,16	7,50	85,13	0 dB	1,00	1,00	0,97	0,92	0,85	0,80	0,80	0,80	0,80	0,80	1,00	1,00
--	-0,89	-0,89	--	Relatief	2	7,35	7,35	7,35	7,35	0 dB	1,00	1,00	1,00	1,00	1,00	1,00	1,00	1,00	1,00	1,00	0,00	0,00
--	-0,89	-0,89	--	Relatief	2	8,84	8,84	8,84	8,84	0 dB	0,00	0,00	0,00	0,00	0,00	0,00	0,00	0,00	0,00	0,00	1,00	1,00

Model: Bromfietspassage
Basismodel - AO Vriezerbrug tunnelbak 2022
Groep: (hoofdgroep)
Lijst van Schermen, voor rekenmethode Industrielawaai - HMRI, industrie

Groep	Refl.R 125	Refl.R 250	Refl.R 500	Refl.R 1k	Refl.R 2k	Refl.R 4k	Refl.R 8k
--	0,97	0,92	0,85	0,80	0,80	0,80	0,80
--	0,97	0,92	0,85	0,80	0,80	0,80	0,80
--	0,00	0,00	0,00	0,00	0,00	0,00	0,00
--	1,00	1,00	1,00	1,00	1,00	1,00	1,00

Model: Bromfietspassage
Basismodel - AO Vriezerbrug tunnelbak 2022
Groep: (hoofdgroep)
Lijst van Hoogtelijnen, voor rekenmethode Industrielawaai - HMRI, industrie

Groep	ItemID	Grp.ID	Datum	Naam	Omschr.	Vorm	X-1	Y-1	X-n	Y-n	H-1	H-n	ISO_H	Min.AH	Max.AH	Vormpunten	Lengte	Lengte3D
--	315	0	10:50, 11 mei 2022			Polylijn	235834,44	567175,71	235837,15	567163,52	0,00	0,00	0,00	0,00	0,00	8	3028,07	3028,07
--	316	0	10:50, 11 mei 2022	1		Polylijn	235736,26	567185,19	235733,55	567168,93	0,00	0,00	0,00	0,00	0,00	5	2913,74	2913,74
--	374	0	13:14, 28 apr 2022			Polylijn	235783,61	566600,90	235790,44	566601,23	0,00	0,00	--	-3,50	0,00	4	177,56	177,71
--	375	0	13:15, 28 apr 2022		0,10m (Rechts)	Polylijn	235783,51	566600,90	235790,54	566601,23	0,00	0,00	0,00	0,00	0,00	4	177,97	177,97
--	376	0	13:16, 28 apr 2022	1		Polylijn	235783,38	566601,00	235790,69	566601,36	0,00	0,00	0,00	0,00	0,00	2	7,31	7,31
--	377	0	13:16, 28 apr 2022	2		Polylijn	235788,96	566417,01	235798,15	566417,31	0,00	0,00	--	-3,50	0,00	4	163,46	163,62
--	378	0	13:17, 28 apr 2022	2	0,10m (Links)	Polylijn	235788,86	566417,01	235798,25	566417,31	0,00	0,00	0,00	0,00	0,00	4	163,87	163,87

Model: Bromfietspassage
Basismodel - AO Vriezerbrug tunnelbak 2022
Groep: (hoofdgroep)
Lijst van Hoogtelijnen, voor rekenmethode Industrielawaai - HMRI, industrie

Groep	Min.lengte	Max.lengte
--	48,29	1197,53
--	257,44	1200,07
--	7,71	85,24
--	7,91	85,35
--	7,31	7,31
--	9,25	77,92
--	9,45	78,04

Model: Bromfietspassage
Basismodel - AO Vriezerbrug tunnelbak 2022
Groep: (hoofdgroep)
Lijst van Toetspunten, voor rekenmethode Industrielawaai - HMRI, industrie

Groep	ItemID	Grp.ID	Datum	le kid	NrKids	Naam	Omschr.	Vorm	X	Y	Maaiveld	Hdef.	Hoogte A	Hoogte B	Hoogte C	Hoogte D	Hoogte E	Hoogte F	Hoogtes	Gevel
--	331	0	16:54, 26 apr 2022	-1247	2	VR20	VR20 [3/5]	Punt	235808,92	566527,54	0,00	Relatief	1,50	4,50	--	--	--	--	1,50/4,50	Ja
--	332	0	16:54, 26 apr 2022	-1253	2	VR20	VR20 [4/5]	Punt	235802,14	566536,48	0,00	Relatief	1,50	4,50	--	--	--	--	1,50/4,50	Ja
--	333	0	16:54, 26 apr 2022	-1259	2	VR20	VR20 [5/5]	Punt	235807,85	566547,15	0,00	Relatief	1,50	4,50	--	--	--	--	1,50/4,50	Ja
--	334	0	16:54, 26 apr 2022	-1265	2	WM2	WM2 [1/7]	Punt	235807,16	566617,28	0,00	Relatief	1,50	4,50	--	--	--	--	1,50/4,50	Ja
--	339	0	16:54, 26 apr 2022	-1295	2	WM2	WM2 [6/7]	Punt	235807,66	566607,31	0,00	Relatief	1,50	4,50	--	--	--	--	1,50/4,50	Ja
--	340	0	09:18, 11 mei 2022	-1301	2	WM2	WM2 [7/7]	Punt	235804,43	566612,26	0,00	Relatief	1,50	4,50	--	--	--	--	1,50/4,50	Ja
--	344	0	16:54, 26 apr 2022	-1325	2	VR19	VR19 [4/6]	Punt	235814,26	566466,64	0,00	Relatief	1,50	4,50	--	--	--	--	1,50/4,50	Ja
--	345	0	16:54, 26 apr 2022	-1331	2	VR19	VR19 [5/6]	Punt	235811,83	566471,10	0,00	Relatief	1,50	4,50	--	--	--	--	1,50/4,50	Ja
--	346	0	16:54, 26 apr 2022	-1337	2	VR19	VR19 [6/6]	Punt	235815,13	566476,08	0,00	Relatief	1,50	4,50	--	--	--	--	1,50/4,50	Ja
--	350	0	16:54, 26 apr 2022	-1361	2	Ind34	Ind34 [4/6]	Punt	235824,03	566770,93	0,00	Relatief	1,50	4,50	--	--	--	--	1,50/4,50	Ja
--	351	0	16:54, 26 apr 2022	-1367	2	Ind34	Ind34 [5/6]	Punt	235821,97	566775,70	0,00	Relatief	1,50	4,50	--	--	--	--	1,50/4,50	Ja
--	352	0	16:54, 26 apr 2022	-1373	2	Ind34	Ind34 [6/6]	Punt	235827,50	566779,79	0,00	Relatief	1,50	4,50	--	--	--	--	1,50/4,50	Ja
--	353	0	16:54, 26 apr 2022	-1379	2	WM3	WM3 [1/7]	Punt	235828,33	566826,39	0,00	Relatief	1,50	4,50	--	--	--	--	1,50/4,50	Ja
--	358	0	16:54, 26 apr 2022	-1409	2	WM3	WM3 [6/7]	Punt	235830,48	566814,73	0,00	Relatief	1,50	4,50	--	--	--	--	1,50/4,50	Ja
--	359	0	16:54, 26 apr 2022	-1415	2	WM3	WM3 [7/7]	Punt	235826,05	566820,00	0,00	Relatief	1,50	4,50	--	--	--	--	1,50/4,50	Ja
--	360	0	16:54, 26 apr 2022	-1421	2	WM4	WM4 [1/4]	Punt	235830,34	566906,80	0,00	Relatief	1,50	4,50	--	--	--	--	1,50/4,50	Ja
--	361	0	16:54, 26 apr 2022	-1427	2	WM4	WM4 [2/4]	Punt	235838,94	566914,36	0,00	Relatief	1,50	4,50	--	--	--	--	1,50/4,50	Ja
--	363	0	16:54, 26 apr 2022	-1439	2	WM4	WM4 [4/4]	Punt	235840,81	566902,19	0,00	Relatief	1,50	4,50	--	--	--	--	1,50/4,50	Ja
--	365	0	16:56, 26 apr 2022	-1451	3	NV4	NV4 [2/10]	Punt	235741,45	566475,01	0,00	Relatief	1,50	4,50	7,50	--	--	--	1,50/4,50/7,50	Ja

Model: Bromfietspassage
Basismodel - AO Vriezerbrug tunnelbak 2022
Groep: (hoofdgroep)
Lijst van Gebouwen, voor rekenmethode Industrielawaai - HMRI, industrie

Groep	ItemID	Grp.ID	Datum	Naam	Omschr.	Vorm	X-1	Y-1	Hoogte	Rel.H	Abs.H	Maaiveld	Hdef.	Vormpunten	Omtrek	Oppervlak	Min.lengte	Max.lengte	Functie
--	25	0	14:54, 26 apr 2022	25	25	Polygoon	235830,80	566075,95	3,64	3,64	3,64	0,00	Relatief	4	12,34	9,36	2,69	3,48	
--	31	0	14:54, 26 apr 2022	31	31	Polygoon	235595,59	566307,50	5,38	5,38	5,38	0,00	Relatief	8	54,01	144,75	1,66	12,68	
--	32	0	14:54, 26 apr 2022	32	32	Polygoon	235610,75	566531,84	6,44	6,44	6,44	0,00	Relatief	12	51,01	133,08	0,75	8,75	
--	33	0	14:54, 26 apr 2022	33	33	Polygoon	235607,75	566431,40	7,06	7,06	7,06	0,00	Relatief	10	45,36	92,49	1,09	9,26	
--	34	0	14:54, 26 apr 2022	34	34	Polygoon	235607,75	566303,97	4,41	4,41	4,41	0,00	Relatief	4	40,09	91,70	7,06	12,98	
--	35	0	14:54, 26 apr 2022	35	35	Polygoon	235623,56	566416,58	-0,06	-0,06	-0,06	0,00	Relatief	24	84,15	232,91	0,10	9,25	
--	36	0	14:54, 26 apr 2022	36	36	Polygoon	235665,62	566429,35	7,57	7,57	7,57	0,00	Relatief	8	54,03	138,62	2,24	10,79	
--	37	0	14:54, 26 apr 2022	37	37	Polygoon	235684,30	566530,17	3,20	3,20	3,20	0,00	Relatief	4	16,52	14,90	2,63	5,65	
--	38	0	14:54, 26 apr 2022	38	38	Polygoon	235690,40	566424,99	6,29	6,29	6,29	0,00	Relatief	6	44,07	116,70	0,13	13,19	
--	39	0	14:54, 26 apr 2022	39	39	Polygoon	235693,77	566511,20	5,70	5,70	5,70	0,00	Relatief	8	50,07	123,16	0,53	12,35	
--	40	0	14:54, 26 apr 2022	40	40	Polygoon	235736,92	566422,05	6,07	6,07	6,07	0,00	Relatief	20	124,82	600,53	0,11	23,54	
--	41	0	14:54, 26 apr 2022	41	41	Polygoon	235727,70	566582,68	6,29	6,29	6,29	0,00	Relatief	4	39,36	94,74	8,37	11,31	
--	42	0	16:56, 26 apr 2022	NV4	NV4	Polygoon	235740,78	566481,47	9,71	9,71	9,71	0,00	Relatief	24	58,23	137,40	0,01	8,50	
--	44	0	14:54, 26 apr 2022	44	44	Polygoon	235848,48	566424,15	2,10	2,10	2,10	0,00	Relatief	4	8,35	4,35	2,09	2,09	
--	45	0	14:54, 26 apr 2022	45	45	Polygoon	236033,11	566936,78	4,05	4,05	4,05	0,00	Relatief	4	19,82	24,51	4,71	5,17	
--	46	0	14:54, 26 apr 2022	46	46	Polygoon	235907,16	567190,90	2,71	2,71	2,71	0,00	Relatief	4	18,51	20,80	3,85	5,41	
--	48	0	14:54, 26 apr 2022	48	48	Polygoon	235588,48	566662,51	3,54	3,54	3,54	0,00	Relatief	6	63,70	177,93	1,05	23,62	
--	52	0	14:54, 26 apr 2022	52	52	Polygoon	235564,90	566476,72	4,65	4,65	4,65	0,00	Relatief	6	31,05	42,71	0,72	11,53	
--	54	0	14:54, 26 apr 2022	54	54	Polygoon	235917,23	567168,29	3,83	3,83	3,83	0,00	Relatief	8	488,39	8583,14	13,67	134,64	
--	55	0	14:54, 26 apr 2022	55	55	Polygoon	235944,75	566600,04	-1,73	-1,73	-1,73	0,00	Relatief	13	98,23	433,17	1,25	20,14	
--	56	0	14:54, 26 apr 2022	56	56	Polygoon	235560,47	566480,49	0,69	0,69	0,69	0,00	Relatief	4	49,43	131,46	7,64	17,29	
--	58	0	14:54, 26 apr 2022	58	58	Polygoon	235986,08	566610,50	-2,07	-2,07	-2,07	0,00	Relatief	7	79,99	372,52	0,21	25,09	
--	59	0	14:54, 26 apr 2022	59	59	Polygoon	235831,06	566958,21	0,69	0,69	0,69	0,00	Relatief	4	100,84	612,24	20,38	30,03	
--	62	0	14:54, 26 apr 2022	62	62	Polygoon	235958,75	566763,65	3,23	3,23	3,23	0,00	Relatief	4	15,54	13,62	2,57	5,24	
--	64	0	14:54, 26 apr 2022	64	64	Polygoon	235674,49	566677,85	2,89	2,89	2,89	0,00	Relatief	4	100,42	472,35	13,02	40,07	
--	67	0	14:54, 26 apr 2022	67	67	Polygoon	235935,13	566574,96	0,27	0,27	0,27	0,00	Relatief	4	14,11	12,33	3,20	3,85	
--	68	0	14:54, 26 apr 2022	68	68	Polygoon	235962,06	566701,80	3,31	3,31	3,31	0,00	Relatief	4	12,72	8,94	2,10	4,26	
--	69	0	14:54, 26 apr 2022	69	69	Polygoon	235961,21	566692,48	3,28	3,28	3,28	0,00	Relatief	4	10,52	6,91	2,60	2,66	
--	71	0	14:54, 26 apr 2022	71	71	Polygoon	235598,73	566407,66	4,20	4,20	4,20	0,00	Relatief	4	29,98	53,85	5,96	9,03	
--	72	0	14:54, 26 apr 2022	72	72	Polygoon	235634,57	566683,30	8,38	8,38	8,38	0,00	Relatief	18	162,21	1255,61	0,02	34,88	
--	73	0	14:54, 26 apr 2022	73	73	Polygoon	235638,38	566648,72	3,47	3,47	3,47	0,00	Relatief	8	80,50	171,36	0,02	34,88	
--	74	0	14:54, 26 apr 2022	74	74	Polygoon	235667,43	566684,20	3,86	3,86	3,86	0,00	Relatief	20	217,65	1992,98	0,17	57,76	
--	75	0	14:54, 26 apr 2022	75	75	Polygoon	235654,95	566579,05	4,27	4,27	4,27	0,00	Relatief	10	119,67	536,44	0,09	39,88	
--	76	0	14:54, 26 apr 2022	76	76	Polygoon	235667,88	566536,37	2,78	2,78	2,78	0,00	Relatief	4	35,48	72,82	6,45	11,28	
--	77	0	14:54, 26 apr 2022	77	77	Polygoon	235691,08	566419,67	4,17	4,17	4,17	0,00	Relatief	8	43,16	95,25	0,04	12,21	
--	78	0	14:54, 26 apr 2022	78	78	Polygoon	235702,62	566529,48	3,33	3,33	3,33	0,00	Relatief	4	42,31	95,71	6,56	14,60	
--	79	0	14:54, 26 apr 2022	79	79	Polygoon	235693,45	566589,30	2,18	2,18	2,18	0,00	Relatief	4	36,51	72,04	5,77	12,48	
--	80	0	14:54, 26 apr 2022	80	80	Polygoon	235694,29	566579,00	3,48	3,48	3,48	0,00	Relatief	4	43,04	113,61	9,28	12,24	
--	81	0	14:54, 26 apr 2022	81	81	Polygoon	235695,89	566521,85	2,68	2,68	2,68	0,00	Relatief	4	11,51	6,52	1,55	4,20	
--	82	0	14:54, 26 apr 2022	82	82	Polygoon	235705,20	566528,68	3,14	3,14	3,14	0,00	Relatief	4	14,59	13,16	3,27	4,03	
--	83	0	16:52, 26 apr 2022	VR20	VR20	Polygoon	235814,77	566542,77	6,00	6,00	6,00	0,00	Relatief	10	65,05	235,36	0,24	18,97	
--	84	0	15:39, 26 apr 2022	WM2	WM2	Polygoon	235804,36	566617,02	7,00	7,00	7,00	0,00	Relatief	11	83,10	370,55	0,55	21,12	
--	85	0	15:36, 26 apr 2022	85	85	Polygoon	235813,94	566551,09	6,00	6,00	6,00	0,00	Relatief	19	173,12	1117,22	0,14	33,13	
--	86	0	14:54, 26 apr 2022	86	86	Polygoon	235828,72	566429,61	2,84	2,84	2,84	0,00	Relatief	4	25,60	40,68	5,87	6,93	
--	87	0	15:38, 26 apr 2022	87	87	Polygoon	235834,70	566722,06	3,00	3,00	3,00	0,00	Relatief	13	64,25	182,10	0,13	19,49	
--	88	0	14:54, 26 apr 2022	88	88	Polygoon	235825,52	566447,49	3,87	3,87	3,87	0,00	Relatief	4	18,30	20,56	3,98	5,17	
--	89	0	15:38, 26 apr 2022	89	89	Polygoon	235844,00	566703,36	3,00	3,00	3,00	0,00	Relatief	6	69,42	300,15	0,12	18,04	
--	90	0	14:54, 26 apr 2022	90	90	Polygoon	235830,26	566440,66	5,34	5,34	5,34	0,00	Relatief	6	39,75	94,31	0,15	12,02	
--	91	0	15:37, 26 apr 2022	91	91	Polygoon	235845,67	566625,53	5,00	5,00	5,00	0,00	Relatief	8	104,16	641,62	0,07	31,76	
--	92	0	15:37, 26 apr 2022	92	92	Polygoon	235876,95	566626,53	5,00	5,00	5,00	0,00	Relatief	10	134,75	1127,15	0,03	35,96	
--	93	0	14:54, 26 apr 2022	93	93	Polygoon	235852,51	566456,90	2,52	2,52	2,52	0,00	Relatief	4	20,12	24,56	4,18	5,90	
--	94	0	15:35, 26 apr 2022	94	94	Polygoon	235857,86	566476,46	5,75	5,75	5,75	0,00	Relatief	24	112,68	366,30	0,10	13,66	
--	95	0	15:38, 26 apr 2022	95	95	Polygoon	235880,86	566734,24	3,00	3,00	3,00	0,00	Relatief	16	158,61	1030,23	0,01	39,49	
--	96	0	14:54, 26 apr 2022	96	96	Polygoon	235897,28	566619,23	5,79	5,79	5,79	0,00	Relatief	6	48,54	139,39	0,12	14,95	
--	98	0	14:54, 26 apr 2022	98	98	Polygoon	235812,36	566439,10	6,67	6,67	6,67	0,00	Relatief	4	38,30	85,75	7,14	12,01	
--	99	0	14:54, 26 apr 2022	99	99	Polygoon	235679,16	566411,80	5,23	5,23	5,23	0,00	Relatief	8	28,36	48,44	0,16	7,01	
--	100	0	14:54, 26 apr 2022	100	100	Polygoon	235736,57	566411,22	3,88	3,88	3,88	0,00	Relatief	8	32,35	49,54	2,11	8,80	
--	101	0	14:54, 26 apr 2022	101	101	Polygoon	235608,57	566397,63	2,85	2,85	2,85	0,00	Relatief	6	18,17	18,09	0,20	5,96	
--	102	0	14:54, 26 apr 2022	102	102	Polygoon	235617,41	566418,42	3,39	3,39	3,39	0,00	Relatief	4	22,80	28,16	3,62	7,78	
--	103	0	14:54, 26 apr 2022	103	103	Polygoon	235595,79	566374,94	6,74	6,74	6,74	0,00	Relatief	18	75,00	224,59	0,12	14,07	
--	104	0	16:53, 26 apr 2022	VR19	VR19	Polygoon	235818,75	566476,31	6,00	6,00	6,00	0,00	Relatief	7	32,59	67,87	0,68	9,13	
--	105	0	14:54, 26 apr 2022	105	105	Polygoon	235626,08	566547,27	3,00	3,00	3,00	0,00	Relatief	13	144,47	952,75	0,04	39,77	
--	106	0	14:54, 26 apr 2022	106	106	Polygoon	235624,65	566564,38	7,47	7,47	7,47	0,00	Relatief	17	227,55	2514,53	0,04	69,24	

Model: Bromfietspassage
Basismodel - AO Vriezerbrug tunnelbak 2022
Groep: (hoofdgroep)
Lijst van Gebouwen, voor rekenmethode Industrielawaai - HMRI, industrie

Groep	Gebouwtype	BAG-id	Gemeente	Jaar	AHN-jaar	Trust	Cp	Refl. 31	Refl. 63	Refl. 125	Refl. 250	Refl. 500	Refl. 1k	Refl. 2k	Refl. 4k	Refl. 8k
--		1730100000011441		0	0	0	0 dB	0,80	0,80	0,80	0,80	0,80	0,80	0,80	0,80	0,80
--		1730100000007116		0	0	0	0 dB	0,80	0,80	0,80	0,80	0,80	0,80	0,80	0,80	0,80
--		1730100000010990		0	0	0	0 dB	0,80	0,80	0,80	0,80	0,80	0,80	0,80	0,80	0,80
--		1730100000007119		0	0	0	0 dB	0,80	0,80	0,80	0,80	0,80	0,80	0,80	0,80	0,80
--		1730100000018375		0	0	0	0 dB	0,80	0,80	0,80	0,80	0,80	0,80	0,80	0,80	0,80
--		1730100000010703		0	0	0	0 dB	0,80	0,80	0,80	0,80	0,80	0,80	0,80	0,80	0,80
--		1730100000010705		0	0	0	0 dB	0,80	0,80	0,80	0,80	0,80	0,80	0,80	0,80	0,80
--		1730100000010991		0	0	0	0 dB	0,80	0,80	0,80	0,80	0,80	0,80	0,80	0,80	0,80
--		1730100000010704		0	0	0	0 dB	0,80	0,80	0,80	0,80	0,80	0,80	0,80	0,80	0,80
--		1730100000009388		0	0	0	0 dB	0,80	0,80	0,80	0,80	0,80	0,80	0,80	0,80	0,80
--		1730100000009395		0	0	0	0 dB	0,80	0,80	0,80	0,80	0,80	0,80	0,80	0,80	0,80
--		1730100000009415		0	0	0	0 dB	0,80	0,80	0,80	0,80	0,80	0,80	0,80	0,80	0,80
--		1730100000009397		0	0	0	0 dB	0,80	0,80	0,80	0,80	0,80	0,80	0,80	0,80	0,80
--		1730100000028051		0	0	0	0 dB	0,80	0,80	0,80	0,80	0,80	0,80	0,80	0,80	0,80
--		1730100000028109		0	0	0	0 dB	0,80	0,80	0,80	0,80	0,80	0,80	0,80	0,80	0,80
--		1730100000028110		0	0	0	0 dB	0,80	0,80	0,80	0,80	0,80	0,80	0,80	0,80	0,80
--		1730100000028372		0	0	0	0 dB	0,80	0,80	0,80	0,80	0,80	0,80	0,80	0,80	0,80
--		1730100000016134		0	0	0	0 dB	0,80	0,80	0,80	0,80	0,80	0,80	0,80	0,80	0,80
--		1730100000030492		0	0	0	0 dB	0,80	0,80	0,80	0,80	0,80	0,80	0,80	0,80	0,80
--		1730100000030664		0	0	0	0 dB	0,80	0,80	0,80	0,80	0,80	0,80	0,80	0,80	0,80
--		1730100000030462		0	0	0	0 dB	0,80	0,80	0,80	0,80	0,80	0,80	0,80	0,80	0,80
--		1730100000030710		0	0	0	0 dB	0,80	0,80	0,80	0,80	0,80	0,80	0,80	0,80	0,80
--		1730100000030374		0	0	0	0 dB	0,80	0,80	0,80	0,80	0,80	0,80	0,80	0,80	0,80
--		1730100000010961		0	0	0	0 dB	0,80	0,80	0,80	0,80	0,80	0,80	0,80	0,80	0,80
--		1730100000015544		0	0	0	0 dB	0,80	0,80	0,80	0,80	0,80	0,80	0,80	0,80	0,80
--		1730100000016126		0	0	0	0 dB	0,80	0,80	0,80	0,80	0,80	0,80	0,80	0,80	0,80
--		1730100000016131		0	0	0	0 dB	0,80	0,80	0,80	0,80	0,80	0,80	0,80	0,80	0,80
--		1730100000016132		0	0	0	0 dB	0,80	0,80	0,80	0,80	0,80	0,80	0,80	0,80	0,80
--		1730100000015278		0	0	0	0 dB	0,80	0,80	0,80	0,80	0,80	0,80	0,80	0,80	0,80
--		1730100000015545		0	0	0	0 dB	0,80	0,80	0,80	0,80	0,80	0,80	0,80	0,80	0,80
--		1730100000015545		0	0	0	0 dB	0,80	0,80	0,80	0,80	0,80	0,80	0,80	0,80	0,80
--		1730100000015543		0	0	0	0 dB	0,80	0,80	0,80	0,80	0,80	0,80	0,80	0,80	0,80
--		1730100000015280		0	0	0	0 dB	0,80	0,80	0,80	0,80	0,80	0,80	0,80	0,80	0,80
--		1730100000015281		0	0	0	0 dB	0,80	0,80	0,80	0,80	0,80	0,80	0,80	0,80	0,80
--		1730100000015279		0	0	0	0 dB	0,80	0,80	0,80	0,80	0,80	0,80	0,80	0,80	0,80
--		1730100000015283		0	0	0	0 dB	0,80	0,80	0,80	0,80	0,80	0,80	0,80	0,80	0,80
--		1730100000015286		0	0	0	0 dB	0,80	0,80	0,80	0,80	0,80	0,80	0,80	0,80	0,80
--		1730100000015287		0	0	0	0 dB	0,80	0,80	0,80	0,80	0,80	0,80	0,80	0,80	0,80
--		1730100000015282		0	0	0	0 dB	0,80	0,80	0,80	0,80	0,80	0,80	0,80	0,80	0,80
--		1730100000015284		0	0	0	0 dB	0,80	0,80	0,80	0,80	0,80	0,80	0,80	0,80	0,80
--		B0000.5f88523d47ee4b		0	0	0	0 dB	0,80	0,80	0,80	0,80	0,80	0,80	0,80	0,80	0,80
--		1730100000010979		0	0	0	0 dB	0,80	0,80	0,80	0,80	0,80	0,80	0,80	0,80	0,80
--		1730100000010992		0	0	0	0 dB	0,80	0,80	0,80	0,80	0,80	0,80	0,80	0,80	0,80
--		1730100000015551		0	0	0	0 dB	0,80	0,80	0,80	0,80	0,80	0,80	0,80	0,80	0,80
--		1730100000000446		0	0	0	0 dB	0,80	0,80	0,80	0,80	0,80	0,80	0,80	0,80	0,80
--		1730100000015550		0	0	0	0 dB	0,80	0,80	0,80	0,80	0,80	0,80	0,80	0,80	0,80
--		1730100000010959		0	0	0	0 dB	0,80	0,80	0,80	0,80	0,80	0,80	0,80	0,80	0,80
--		1730100000015549		0	0	0	0 dB	0,80	0,80	0,80	0,80	0,80	0,80	0,80	0,80	0,80
--		17301000000004722		0	0	0	0 dB	0,80	0,80	0,80	0,80	0,80	0,80	0,80	0,80	0,80
--		1730100000010965		0	0	0	0 dB	0,80	0,80	0,80	0,80	0,80	0,80	0,80	0,80	0,80
--		1730100000015548		0	0	0	0 dB	0,80	0,80	0,80	0,80	0,80	0,80	0,80	0,80	0,80
--		1730100000009389		0	0	0	0 dB	0,80	0,80	0,80	0,80	0,80	0,80	0,80	0,80	0,80
--		1730100000010958		0	0	0	0 dB	0,80	0,80	0,80	0,80	0,80	0,80	0,80	0,80	0,80
--		1730100000016128		0	0	0	0 dB	0,80	0,80	0,80	0,80	0,80	0,80	0,80	0,80	0,80
--		1730100000018336		0	0	0	0 dB	0,80	0,80	0,80	0,80	0,80	0,80	0,80	0,80	0,80
--		1730100000018370		0	0	0	0 dB	0,80	0,80	0,80	0,80	0,80	0,80	0,80	0,80	0,80
--		1730100000018371		0	0	0	0 dB	0,80	0,80	0,80	0,80	0,80	0,80	0,80	0,80	0,80
--		1730100000018373		0	0	0	0 dB	0,80	0,80	0,80	0,80	0,80	0,80	0,80	0,80	0,80
--		1730100000018374		0	0	0	0 dB	0,80	0,80	0,80	0,80	0,80	0,80	0,80	0,80	0,80
--		1730100000022607		0	0	0	0 dB	0,80	0,80	0,80	0,80	0,80	0,80	0,80	0,80	0,80
--		1730100000023775		0	0	0	0 dB	0,80	0,80	0,80	0,80	0,80	0,80	0,80	0,80	0,80
--		1730100000024892		0	0	0	0 dB	0,80	0,80	0,80	0,80	0,80	0,80	0,80	0,80	0,80
--		1730100000024892		0	0	0	0 dB	0,80	0,80	0,80	0,80	0,80	0,80	0,80	0,80	0,80

Model: Bromfietspassage
Basismodel - AO Vriezerbrug tunnelbak 2022
Groep: (hoofdgroep)
Lijst van Gebouwen, voor rekenmethode Industrielawaai - HMRI, industrie

Groep	ItemID	Grp.ID	Datum	Naam	Omschr.	Vorm	X-1	Y-1	Hoogte	Rel.H	Abs.H	Maaiveld	Hdef.	Vormpunten	Omtrek	Oppervlak	Min.lengte	Max.lengte	Functie
--	107	0	14:54, 26 apr 2022	107	107	Polygoon	235584,99	566417,24	2,63	2,63	2,63	0,00	Relatief	16	63,83	163,83	0,55	9,96	
--	108	0	14:54, 26 apr 2022	108	108	Polygoon	235598,36	566337,25	4,48	4,48	4,48	0,00	Relatief	19	62,75	153,04	0,02	8,74	
--	109	0	14:54, 26 apr 2022	109	109	Polygoon	235717,33	566384,08	5,03	5,03	5,03	0,00	Relatief	8	61,39	201,11	2,50	16,43	
--	110	0	14:54, 26 apr 2022	110	110	Polygoon	235845,43	566493,23	5,03	5,03	5,03	0,00	Relatief	16	67,65	167,92	0,12	9,59	
--	111	0	14:54, 26 apr 2022	111	111	Polygoon	235609,22	566359,53	5,15	5,15	5,15	0,00	Relatief	4	32,53	51,24	4,27	11,99	
--	138	0	14:54, 26 apr 2022	138	138	Polygoon	235981,35	566755,84	3,61	3,61	3,61	0,00	Relatief	18	163,27	1100,50	0,08	26,75	
--	140	0	14:54, 26 apr 2022	140	140	Polygoon	235942,24	566768,77	3,10	3,10	3,10	0,00	Relatief	12	146,71	837,75	0,17	48,48	
--	141	0	14:54, 26 apr 2022	141	141	Polygoon	235871,64	566764,43	5,11	5,11	5,11	0,00	Relatief	4	94,87	489,61	15,18	32,48	
--	142	0	14:54, 26 apr 2022	142	142	Polygoon	235873,89	566793,82	4,97	4,97	4,97	0,00	Relatief	4	85,85	395,10	13,35	29,67	
--	143	0	14:54, 26 apr 2022	143	143	Polygoon	235836,98	566794,87	2,67	2,67	2,67	0,00	Relatief	28	104,58	438,85	0,02	25,45	
--	144	0	15:42, 26 apr 2022	Ind34	Ind34	Polygoon	235832,57	566779,33	6,39	6,39	6,39	0,00	Relatief	15	42,43	96,98	0,02	10,18	
--	145	0	14:54, 26 apr 2022	145	145	Polygoon	235895,33	566771,99	5,54	5,54	5,54	0,00	Relatief	4	96,31	537,86	17,49	30,58	
--	150	0	14:54, 26 apr 2022	150	150	Polygoon	236002,49	566801,00	5,70	5,70	5,70	0,00	Relatief	4	71,40	258,53	10,10	25,66	
--	151	0	14:54, 26 apr 2022	151	151	Polygoon	235868,44	566804,80	4,87	4,87	4,87	0,00	Relatief	4	54,84	179,19	10,74	16,67	
--	154	0	14:54, 26 apr 2022	154	154	Polygoon	236008,86	566809,52	5,84	5,84	5,84	0,00	Relatief	4	56,40	164,79	8,20	20,02	
--	155	0	15:39, 26 apr 2022	WM3	WM3	Polygoon	235825,23	566825,75	6,47	6,47	6,47	0,00	Relatief	11	59,69	209,99	0,06	11,61	
--	156	0	14:54, 26 apr 2022	156	156	Polygoon	235973,11	566850,11	4,03	4,03	4,03	0,00	Relatief	4	37,14	81,42	7,09	11,50	
--	157	0	14:54, 26 apr 2022	157	157	Polygoon	235898,31	566865,50	6,10	6,10	6,10	0,00	Relatief	10	43,90	119,45	0,06	11,88	
--	158	0	14:54, 26 apr 2022	158	158	Polygoon	235882,99	566876,88	5,95	5,95	5,95	0,00	Relatief	6	54,09	169,60	0,09	17,16	
--	159	0	14:54, 26 apr 2022	159	159	Polygoon	235956,02	566885,72	5,42	5,42	5,42	0,00	Relatief	4	59,89	199,14	9,97	19,98	
--	160	0	14:54, 26 apr 2022	160	160	Polygoon	235980,26	566891,60	3,21	3,21	3,21	0,00	Relatief	16	104,26	475,92	0,04	27,37	
--	161	0	14:54, 26 apr 2022	161	161	Polygoon	235880,99	566894,28	7,54	7,54	7,54	0,00	Relatief	6	120,32	888,19	0,52	33,12	
--	162	0	14:54, 26 apr 2022	162	162	Polygoon	235871,18	566899,59	3,81	3,81	3,81	0,00	Relatief	4	37,29	86,72	8,91	9,73	
--	164	0	15:40, 26 apr 2022	WM4	WM4	Polygoon	235831,36	566900,83	6,44	6,44	6,44	0,00	Relatief	4	62,42	231,31	12,11	19,10	
--	165	0	14:54, 26 apr 2022	165	165	Polygoon	235957,41	566903,68	7,47	7,47	7,47	0,00	Relatief	6	105,38	677,82	0,05	30,38	
--	183	0	14:54, 26 apr 2022	183	183	Polygoon	235997,20	566907,51	4,80	4,80	4,80	0,00	Relatief	6	98,06	403,09	3,60	35,45	
--	193	0	14:54, 26 apr 2022	193	193	Polygoon	236027,34	566929,41	2,70	2,70	2,70	0,00	Relatief	5	34,12	68,55	2,97	11,58	
--	194	0	14:54, 26 apr 2022	194	194	Polygoon	236026,37	566994,79	7,56	7,56	7,56	0,00	Relatief	4	32,95	66,72	7,18	9,30	
--	195	0	14:54, 26 apr 2022	195	195	Polygoon	236027,93	566813,75	2,93	2,93	2,93	0,00	Relatief	4	18,73	20,94	3,57	5,69	
--	196	0	14:54, 26 apr 2022	196	196	Polygoon	236001,33	566949,20	0,18	0,18	0,18	0,00	Relatief	4	0,61	0,02	0,13	0,18	
--	208	0	14:54, 26 apr 2022	208	208	Polygoon	235939,93	567279,11	8,20	8,20	8,20	0,00	Relatief	4	77,21	337,48	13,37	25,26	
--	209	0	14:54, 26 apr 2022	209	209	Polygoon	235958,06	567421,44	7,71	7,71	7,71	0,00	Relatief	6	74,78	336,48	0,19	22,24	
--	210	0	14:54, 26 apr 2022	210	210	Polygoon	235942,85	567363,85	4,17	4,17	4,17	0,00	Relatief	8	100,35	456,51	0,28	38,13	
--	211	0	14:54, 26 apr 2022	211	211	Polygoon	235927,89	567362,40	7,50	7,50	7,50	0,00	Relatief	12	72,53	307,49	0,07	19,79	
--	220	0	14:54, 26 apr 2022	220	220	Polygoon	236001,79	567451,65	-6,36	-6,36	-6,36	0,00	Relatief	4	99,29	591,73	19,88	29,77	
--	221	0	14:54, 26 apr 2022	221	221	Polygoon	235925,12	566572,07	6,15	6,15	6,15	0,00	Relatief	12	58,19	192,10	0,31	12,27	
--	222	0	14:54, 26 apr 2022	222	222	Polygoon	235916,21	566586,88	3,64	3,64	3,64	0,00	Relatief	9	31,64	51,63	0,12	9,04	
--	223	0	14:54, 26 apr 2022	223	223	Polygoon	235928,03	566596,10	1,87	1,87	1,87	0,00	Relatief	8	45,17	86,70	1,00	16,31	
--	224	0	14:54, 26 apr 2022	224	224	Polygoon	235934,32	566623,22	3,25	3,25	3,25	0,00	Relatief	14	66,16	153,47	0,18	10,38	
--	225	0	14:54, 26 apr 2022	225	225	Polygoon	235943,78	566511,51	4,97	4,97	4,97	0,00	Relatief	6	58,76	183,19	4,10	17,57	
--	226	0	14:54, 26 apr 2022	226	226	Polygoon	235964,91	566629,15	4,46	4,46	4,46	0,00	Relatief	12	51,53	136,97	0,03	15,51	
--	227	0	14:54, 26 apr 2022	227	227	Polygoon	235964,71	566611,16	4,16	4,16	4,16	0,00	Relatief	4	49,73	151,89	10,83	14,36	
--	228	0	14:54, 26 apr 2022	228	228	Polygoon	235978,31	566618,08	3,18	3,18	3,18	0,00	Relatief	16	66,07	191,07	0,20	12,78	
--	229	0	14:54, 26 apr 2022	229	229	Polygoon	235990,08	566712,89	6,18	6,18	6,18	0,00	Relatief	6	45,51	128,68	0,09	11,68	
--	230	0	14:54, 26 apr 2022	230	230	Polygoon	235997,96	566613,47	3,81	3,81	3,81	0,00	Relatief	4	36,73	74,98	6,02	12,23	
--	231	0	14:54, 26 apr 2022	231	231	Polygoon	236008,20	566714,51	5,26	5,26	5,26	0,00	Relatief	6	65,24	251,86	0,08	19,98	
--	233	0	14:54, 26 apr 2022	233	233	Polygoon	236016,58	566617,52	5,86	5,86	5,86	0,00	Relatief	4	78,20	376,22	16,12	20,92	
--	235	0	14:54, 26 apr 2022	235	235	Polygoon	236027,47	566526,23	2,76	2,76	2,76	0,00	Relatief	4	23,03	33,06	5,46	6,05	
--	248	0	14:54, 26 apr 2022	248	248	Polygoon	235917,98	566599,14	3,18	3,18	3,18	0,00	Relatief	4	20,80	21,75	2,90	7,50	
--	249	0	14:54, 26 apr 2022	249	249	Polygoon	235941,21	566507,97	4,80	4,80	4,80	0,00	Relatief	5	28,79	51,66	2,75	8,12	
--	250	0	14:54, 26 apr 2022	250	250	Polygoon	235958,26	566503,27	2,60	2,60	2,60	0,00	Relatief	4	24,22	27,72	3,07	9,04	
--	251	0	14:54, 26 apr 2022	251	251	Polygoon	235951,69	566721,40	5,67	5,67	5,67	0,00	Relatief	22	219,07	1695,46	0,09	40,07	
--	282	0	14:54, 26 apr 2022	282	282	Polygoon	235900,88	566936,86	5,55	5,55	5,55	0,00	Relatief	10	74,47	269,97	0,11	27,10	
--	283	0	14:54, 26 apr 2022	283	283	Polygoon	235995,15	566990,34	6,18	6,18	6,18	0,00	Relatief	8	124,27	843,89	0,13	42,04	
--	284	0	14:54, 26 apr 2022	284	284	Polygoon	235896,82	566954,77	6,12	6,12	6,12	0,00	Relatief	8	75,45	329,45	0,12	23,70	
--	285	0	14:54, 26 apr 2022	285	285	Polygoon	235988,37	566958,10	4,64	4,64	4,64	0,00	Relatief	6	79,99	299,70	0,11	30,00	
--	286	0	14:54, 26 apr 2022	286	286	Polygoon	235918,07	566958,41	3,97	3,97	3,97	0,00	Relatief	4	99,26	493,46	13,76	35,87	
--	288	0	14:54, 26 apr 2022	288	288	Polygoon	235995,30	566990,36	0,04	0,04	0,04	0,00	Relatief	4	1,34	0,08	0,15	0,52	
--	289	0	14:54, 26 apr 2022	289	289	Polygoon	235897,93	567023,31	12,64	12,64	12,64	0,00	Relatief	8	148,59	1159,57	0,72	51,66	
--	290	0	14:54, 26 apr 2022	290	290	Polygoon	236001,03	567037,69	7,36	7,36	7,36	0,00	Relatief	16	71,66	226,96	0,23	23,29	
--	291	0	14:54, 26 apr 2022	291	291	Polygoon	235854,37	567016,10	9,00	9,00	9,00	0,00	Relatief	36	245,47	3116,90	0,02	44,14	
--	293	0	14:54, 26 apr 2022	293	293	Polygoon	236015,32	567024,28	3,69	3,69	3,69	0,00	Relatief	10	34,96	38,23	0,23	13,95	
--	294	0	14:54, 26 apr 2022	294	294	Polygoon	236007,02	567041,60	3,31	3,31	3,31	0,00	Relatief	8	14,40	9,93	0,20	3,62	

Model: Bromfietspassage
Basismodel - AO Vriezerbrug tunnelbak 2022
Groep: (hoofdgroep)
Lijst van Gebouwen, voor rekenmethode Industrielawaai - HMRI, industrie

Groep	Gebouwtype	BAG-id	Gemeente	Jaar	AHN-jaar	Trust	Cp	Refl. 31	Refl. 63	Refl. 125	Refl. 250	Refl. 500	Refl. 1k	Refl. 2k	Refl. 4k	Refl. 8k
--		1730100000025014		0	0	0	0 dB	0,80	0,80	0,80	0,80	0,80	0,80	0,80	0,80	0,80
--		1730100000025015		0	0	0	0 dB	0,80	0,80	0,80	0,80	0,80	0,80	0,80	0,80	0,80
--		1730100000025040		0	0	0	0 dB	0,80	0,80	0,80	0,80	0,80	0,80	0,80	0,80	0,80
--		1730100000025245		0	0	0	0 dB	0,80	0,80	0,80	0,80	0,80	0,80	0,80	0,80	0,80
--		1730100000027274		0	0	0	0 dB	0,80	0,80	0,80	0,80	0,80	0,80	0,80	0,80	0,80
--		1730100000022838		0	0	0	0 dB	0,80	0,80	0,80	0,80	0,80	0,80	0,80	0,80	0,80
--		1730100000000442		0	0	0	0 dB	0,80	0,80	0,80	0,80	0,80	0,80	0,80	0,80	0,80
--		B0000.fc8b2e49a09848		0	0	0	0 dB	0,80	0,80	0,80	0,80	0,80	0,80	0,80	0,80	0,80
--		1730100000000443		0	0	0	0 dB	0,80	0,80	0,80	0,80	0,80	0,80	0,80	0,80	0,80
--		1730100000023871		0	0	0	0 dB	0,80	0,80	0,80	0,80	0,80	0,80	0,80	0,80	0,80
--		1730100000023871		0	0	0	0 dB	0,80	0,80	0,80	0,80	0,80	0,80	0,80	0,80	0,80
--		1730100000010963		0	0	0	0 dB	0,80	0,80	0,80	0,80	0,80	0,80	0,80	0,80	0,80
--		1730100000015868		0	0	0	0 dB	0,80	0,80	0,80	0,80	0,80	0,80	0,80	0,80	0,80
--		1730100000015863		0	0	0	0 dB	0,80	0,80	0,80	0,80	0,80	0,80	0,80	0,80	0,80
--		1730100000010946		0	0	0	0 dB	0,80	0,80	0,80	0,80	0,80	0,80	0,80	0,80	0,80
--		1730100000010993		0	0	0	0 dB	0,80	0,80	0,80	0,80	0,80	0,80	0,80	0,80	0,80
--		1730100000010977		0	0	0	0 dB	0,80	0,80	0,80	0,80	0,80	0,80	0,80	0,80	0,80
--		1730100000010975		0	0	0	0 dB	0,80	0,80	0,80	0,80	0,80	0,80	0,80	0,80	0,80
--		1730100000010974		0	0	0	0 dB	0,80	0,80	0,80	0,80	0,80	0,80	0,80	0,80	0,80
--		1730100000010976		0	0	0	0 dB	0,80	0,80	0,80	0,80	0,80	0,80	0,80	0,80	0,80
--		1730100000010978		0	0	0	0 dB	0,80	0,80	0,80	0,80	0,80	0,80	0,80	0,80	0,80
--		1730100000018097		0	0	0	0 dB	0,80	0,80	0,80	0,80	0,80	0,80	0,80	0,80	0,80
--		1730100000015864		0	0	0	0 dB	0,80	0,80	0,80	0,80	0,80	0,80	0,80	0,80	0,80
--		1730100000015865		0	0	0	0 dB	0,80	0,80	0,80	0,80	0,80	0,80	0,80	0,80	0,80
--		1730100000026554		0	0	0	0 dB	0,80	0,80	0,80	0,80	0,80	0,80	0,80	0,80	0,80
--		1730100000009412		0	0	0	0 dB	0,80	0,80	0,80	0,80	0,80	0,80	0,80	0,80	0,80
--		17301000000004625		0	0	0	0 dB	0,80	0,80	0,80	0,80	0,80	0,80	0,80	0,80	0,80
--		1730100000012587		0	0	0	0 dB	0,80	0,80	0,80	0,80	0,80	0,80	0,80	0,80	0,80
--		1730100000015869		0	0	0	0 dB	0,80	0,80	0,80	0,80	0,80	0,80	0,80	0,80	0,80
--		1730100000018095		0	0	0	0 dB	0,80	0,80	0,80	0,80	0,80	0,80	0,80	0,80	0,80
--		1730100000025710		0	0	0	0 dB	0,80	0,80	0,80	0,80	0,80	0,80	0,80	0,80	0,80
--		1730100000025853		0	0	0	0 dB	0,80	0,80	0,80	0,80	0,80	0,80	0,80	0,80	0,80
--		1730100000025858		0	0	0	0 dB	0,80	0,80	0,80	0,80	0,80	0,80	0,80	0,80	0,80
--		1730100000025858		0	0	0	0 dB	0,80	0,80	0,80	0,80	0,80	0,80	0,80	0,80	0,80
--		1730100000030556		0	0	0	0 dB	0,80	0,80	0,80	0,80	0,80	0,80	0,80	0,80	0,80
--		1730100000010957		0	0	0	0 dB	0,80	0,80	0,80	0,80	0,80	0,80	0,80	0,80	0,80
--		1730100000016124		0	0	0	0 dB	0,80	0,80	0,80	0,80	0,80	0,80	0,80	0,80	0,80
--		1730100000016125		0	0	0	0 dB	0,80	0,80	0,80	0,80	0,80	0,80	0,80	0,80	0,80
--		1730100000016121		0	0	0	0 dB	0,80	0,80	0,80	0,80	0,80	0,80	0,80	0,80	0,80
--		1730100000009390		0	0	0	0 dB	0,80	0,80	0,80	0,80	0,80	0,80	0,80	0,80	0,80
--		1730100000016122		0	0	0	0 dB	0,80	0,80	0,80	0,80	0,80	0,80	0,80	0,80	0,80
--		1730100000010966		0	0	0	0 dB	0,80	0,80	0,80	0,80	0,80	0,80	0,80	0,80	0,80
--		1730100000010953		0	0	0	0 dB	0,80	0,80	0,80	0,80	0,80	0,80	0,80	0,80	0,80
--		1730100000010967		0	0	0	0 dB	0,80	0,80	0,80	0,80	0,80	0,80	0,80	0,80	0,80
--		1730100000016119		0	0	0	0 dB	0,80	0,80	0,80	0,80	0,80	0,80	0,80	0,80	0,80
--		1730100000009414		0	0	0	0 dB	0,80	0,80	0,80	0,80	0,80	0,80	0,80	0,80	0,80
--		1730100000016118		0	0	0	0 dB	0,80	0,80	0,80	0,80	0,80	0,80	0,80	0,80	0,80
--		1730100000016116		0	0	0	0 dB	0,80	0,80	0,80	0,80	0,80	0,80	0,80	0,80	0,80
--		1730100000016127		0	0	0	0 dB	0,80	0,80	0,80	0,80	0,80	0,80	0,80	0,80	0,80
--		1730100000016129		0	0	0	0 dB	0,80	0,80	0,80	0,80	0,80	0,80	0,80	0,80	0,80
--		1730100000016130		0	0	0	0 dB	0,80	0,80	0,80	0,80	0,80	0,80	0,80	0,80	0,80
--		1730100000023944		0	0	0	0 dB	0,80	0,80	0,80	0,80	0,80	0,80	0,80	0,80	0,80
--		1730100000010969		0	0	0	0 dB	0,80	0,80	0,80	0,80	0,80	0,80	0,80	0,80	0,80
--		1730100000018095		0	0	0	0 dB	0,80	0,80	0,80	0,80	0,80	0,80	0,80	0,80	0,80
--		1730100000010970		0	0	0	0 dB	0,80	0,80	0,80	0,80	0,80	0,80	0,80	0,80	0,80
--		1730100000010971		0	0	0	0 dB	0,80	0,80	0,80	0,80	0,80	0,80	0,80	0,80	0,80
--		1730100000010972		0	0	0	0 dB	0,80	0,80	0,80	0,80	0,80	0,80	0,80	0,80	0,80
--		1730100000018095		0	0	0	0 dB	0,80	0,80	0,80	0,80	0,80	0,80	0,80	0,80	0,80
--		1730100000010973		0	0	0	0 dB	0,80	0,80	0,80	0,80	0,80	0,80	0,80	0,80	0,80
--		1730100000026193		0	0	0	0 dB	0,80	0,80	0,80	0,80	0,80	0,80	0,80	0,80	0,80
--		1730100000026193		0	0	0	0 dB	0,80	0,80	0,80	0,80	0,80	0,80	0,80	0,80	0,80

Model: Bromfietspassage
Basismodel - AO Vriezerbrug tunnelbak 2022
Groep: (hoofdgroep)
Lijst van Gebouwen, voor rekenmethode Industrielawaai - HMRI, industrie

Groep	ItemID	Grp.ID	Datum	Naam	Omschr.	Vorm	X-1	Y-1	Hoogte	Rel.H	Abs.H	Maaiveld	Hdef.	Vormpunten	Omtrek	Oppervlak	Min.lengte	Max.lengte	Functie
--	295	0	14:54, 26 apr 2022	295	295	Polygoon	236014,18	567042,87	8,94	8,94	8,94	0,00	Relatief	15	121,31	804,07	0,17	39,98	
--	296	0	14:54, 26 apr 2022	296	296	Polygoon	235856,34	567069,36	1,03	1,03	1,03	0,00	Relatief	6	19,41	8,18	0,68	8,79	
--	297	0	14:54, 26 apr 2022	297	297	Polygoon	235884,61	567113,51	7,07	7,07	7,07	0,00	Relatief	11	128,05	789,37	0,72	45,36	
--	298	0	14:54, 26 apr 2022	298	298	Polygoon	235901,35	567115,86	3,91	3,91	3,91	0,00	Relatief	4	28,31	15,07	1,17	13,11	
--	299	0	14:54, 26 apr 2022	299	299	Polygoon	235899,26	567174,69	6,12	6,12	6,12	0,00	Relatief	6	48,42	137,05	0,47	14,93	
--	300	0	14:54, 26 apr 2022	300	300	Polygoon	235922,92	567183,55	3,63	3,63	3,63	0,00	Relatief	4	31,00	56,26	5,80	9,70	
--	301	0	14:54, 26 apr 2022	301	301	Polygoon	235882,20	567214,02	4,74	4,74	4,74	0,00	Relatief	17	93,71	384,10	0,11	24,80	
--	302	0	14:54, 26 apr 2022	302	302	Polygoon	235930,05	567202,17	3,04	3,04	3,04	0,00	Relatief	9	45,54	102,99	0,13	14,59	
--	303	0	14:54, 26 apr 2022	303	303	Polygoon	235906,46	567223,85	7,18	7,18	7,18	0,00	Relatief	8	51,68	133,27	1,77	11,44	
--	304	0	14:54, 26 apr 2022	304	304	Polygoon	235918,03	567215,01	6,10	6,10	6,10	0,00	Relatief	14	45,30	102,03	0,16	12,26	
--	305	0	14:54, 26 apr 2022	305	305	Polygoon	235967,56	567014,67	4,99	4,99	4,99	0,00	Relatief	8	91,57	458,96	0,15	29,98	
--	306	0	14:54, 26 apr 2022	306	306	Polygoon	235978,97	567012,24	7,15	7,15	7,15	0,00	Relatief	10	111,24	660,46	0,08	38,17	
--	307	0	14:54, 26 apr 2022	307	307	Polygoon	235919,30	566948,43	7,55	7,55	7,55	0,00	Relatief	8	112,10	749,36	0,12	33,92	
--	308	0	14:54, 26 apr 2022	308	308	Polygoon	235942,94	567005,84	4,82	4,82	4,82	0,00	Relatief	6	95,21	369,97	0,34	37,82	
--	309	0	14:54, 26 apr 2022	309	309	Polygoon	235911,61	567002,71	6,40	6,40	6,40	0,00	Relatief	4	88,93	339,34	9,78	34,68	
--	310	0	14:54, 26 apr 2022	310	310	Polygoon	235915,25	567061,07	6,47	6,47	6,47	0,00	Relatief	12	151,85	1328,90	0,04	35,46	
--	311	0	14:54, 26 apr 2022	311	311	Polygoon	235940,23	567208,48	8,13	8,13	8,13	0,00	Relatief	18	247,89	3075,12	0,05	64,68	
--	327	0	15:33, 26 apr 2022	104	104	Polygoon	235820,04	566468,11	3,00	3,00	3,00	0,00	Relatief	9	31,80	57,38	0,08	6,28	
--	328	0	15:35, 26 apr 2022	104	104	Polygoon	235818,81	566475,63	3,00	3,00	3,00	0,00	Relatief	6	25,90	38,37	0,73	7,04	

Model: Bromfietspassage
Basismodel - AO Vriezerbrug tunnelbak 2022
Groep: (hoofdgroep)
Lijst van Gebouwen, voor rekenmethode Industrielawaai - HMRI, industrie

Groep	Gebouwtype	BAG-id	Gemeente	Jaar	AHN-jaar	Trust	Cp	Refl. 31	Refl. 63	Refl. 125	Refl. 250	Refl. 500	Refl. 1k	Refl. 2k	Refl. 4k	Refl. 8k
--		1730100000026193		0	0	0	0 dB	0,80	0,80	0,80	0,80	0,80	0,80	0,80	0,80	0,80
--		1730100000010973		0	0	0	0 dB	0,80	0,80	0,80	0,80	0,80	0,80	0,80	0,80	0,80
--		1730100000018094		0	0	0	0 dB	0,80	0,80	0,80	0,80	0,80	0,80	0,80	0,80	0,80
--		1730100000018094		0	0	0	0 dB	0,80	0,80	0,80	0,80	0,80	0,80	0,80	0,80	0,80
--		1730100000018331		0	0	0	0 dB	0,80	0,80	0,80	0,80	0,80	0,80	0,80	0,80	0,80
--		1730100000025707		0	0	0	0 dB	0,80	0,80	0,80	0,80	0,80	0,80	0,80	0,80	0,80
--		1730100000010983		0	0	0	0 dB	0,80	0,80	0,80	0,80	0,80	0,80	0,80	0,80	0,80
--		1730100000025647		0	0	0	0 dB	0,80	0,80	0,80	0,80	0,80	0,80	0,80	0,80	0,80
--		1730100000010984		0	0	0	0 dB	0,80	0,80	0,80	0,80	0,80	0,80	0,80	0,80	0,80
--		1730100000025647		0	0	0	0 dB	0,80	0,80	0,80	0,80	0,80	0,80	0,80	0,80	0,80
--		1730100000026517		0	0	0	0 dB	0,80	0,80	0,80	0,80	0,80	0,80	0,80	0,80	0,80
--		1730100000026539		0	0	0	0 dB	0,80	0,80	0,80	0,80	0,80	0,80	0,80	0,80	0,80
--		1730100000026544		0	0	0	0 dB	0,80	0,80	0,80	0,80	0,80	0,80	0,80	0,80	0,80
--		1730100000026551		0	0	0	0 dB	0,80	0,80	0,80	0,80	0,80	0,80	0,80	0,80	0,80
--		1730100000026552		0	0	0	0 dB	0,80	0,80	0,80	0,80	0,80	0,80	0,80	0,80	0,80
--		1730100000026648		0	0	0	0 dB	0,80	0,80	0,80	0,80	0,80	0,80	0,80	0,80	0,80
--		1730100000026651		0	0	0	0 dB	0,80	0,80	0,80	0,80	0,80	0,80	0,80	0,80	0,80
--		1730100000023775		0	0	0	0 dB	0,80	0,80	0,80	0,80	0,80	0,80	0,80	0,80	0,80
--		1730100000023775		0	0	0	0 dB	0,80	0,80	0,80	0,80	0,80	0,80	0,80	0,80	0,80